

九州大学 正員 楢東一郎
 学生員 古屋慶一
 学生員 神谷誠一郎

開水路の乱れ特性量について今本は次元解析的有表示を行ない、又我々は乱れエネルギーの式などに基づいて滑面乱流における乱れ特性量の分布を理論的に求めた。しかし粗面開水路における乱れの特性量については明らかでない点が多く乱れ特性量の分布が粗度の影響をうけて変化するかどうか問題となっている。粗面開水路の乱れ特性は浮遊砂・拡散等に關係する重要な課題であるから、ここでは球状粗度及び砂連続三角形粗度で乱れ特性量を測定し考察した。

1. 実験

球状粗度水路は長さ 10^m 幅 40cm の矩形水路に径 1.3cm のラムネ玉をしきつめた。砂連続三角形粗度水路は長さ 8^m 幅 60cm の水路に波長 2.0^m 波高 1cm の三角形粗度をとりつけた。乱れの測定にはDISA社製X-Yホットフィルム流速計を用い流れ方向及び鉛直方向の乱れを測定した。

2. データ処理

①乱れ強度: $U' = \sqrt{\frac{1}{N} \sum (U_i - \bar{U})^2 / N}$, $V' = \sqrt{\frac{1}{N} \sum (V_i - \bar{V})^2 / N}$
 ②レイノルズ応力: $\bar{U}'V' = \frac{1}{N} \sum (U_i - \bar{U})(V_i - \bar{V}) / N$
 ③エネルギー選択率: $E = 30.0 \times N \times \sum k_i S(k_i) / k$
 ここで N は動粘性係数, k_i は波数, $S(k)$ は波数スペクトル。スペクトルはFFT法で $A_k = \frac{1}{N\Delta f} \operatorname{Real}[a_k e^{j2\pi k \Delta f t}]$, $U'(k) = \frac{1}{N\Delta f} \operatorname{Ima}[a_k e^{j2\pi k \Delta f t}]$ と $b_k = \frac{1}{N\Delta f} \operatorname{Ima}[a_k e^{-j2\pi k \Delta f t}]$ より $S(f_k) = 2N\Delta f [A_k^2 + b_k^2]$ より周波数スペクトルを求め $S(k) = \frac{1}{2\pi} S(f)$ より波数スペクトルを求めた。

④平均スケール: $L_f = \pi \Delta f f(i)$, $f(i)$ は x 方向の自己相関係数, $L_g = \pi \Delta f g(i)$, $g(i)$ は y 方向(鉛直)自己相関係数。

計算は九州大学大型計算機センターのFACOM 230-60と中央計算施設230-45を用いた。A-D変換には、計数のDATAAC 2000Sを用いた。

3. 考察

① x 方向の乱れ強度: 球状粗度においては粗度によって剥離した乱れが支配的な roughness layer が存在し、その大きさは粒径の 0.6 倍程度である。又三角形粗度においては流れの剥離を伴ない、流れはきわめて複雑で、ついで底面付近に強い乱れの層を想定したのであるが実験結果は図-1に示すよう

実験条件

	三角形	球状粗度		
I	1/526	1/440	1/440	1/440
$h\text{ cm}$	5.26	5.3	7.5	9.2
$U_{\text{ref}}/\text{sec}$	3.24	3.43	4.10	4.53
U_{ref}/cm			2.9	2.53

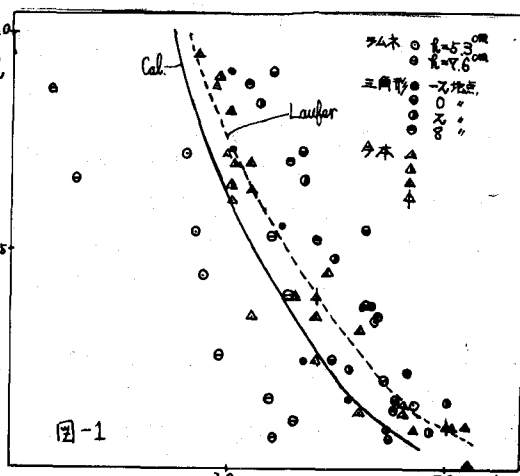


図-1

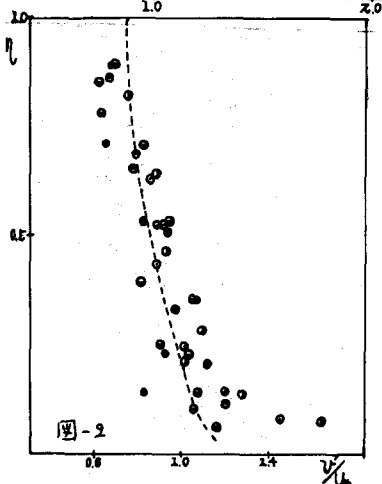


図-2

である。図中の点線は Laufer が空気流の滑面において測定した乱れの強度、実線は前報の理論の結果である。粗面乱流の測定点はほぼこの線のまわりに散らばり滑

面によって大きな差異はない。このことは粗度層の乱れも U_L (摩擦速度) で規定され、乱れの発生と散逸がほぼ釣合うことを示している。図-2に示す鉛直方向の乱れ σ_{wz} についてもほぼ同様である。

・粘性散逸量 S : 粘性散逸量を無次元化した結果は図-4に示す。測定点は前報の理論曲線にかなり近い。又図は省略するがスペクトルには -1 次乗、-3 次乗に従う慣性領域と粘性領域が存在し $S(t) = \frac{A}{(2\pi)^2} D^{2/3} t^{-5/3}$ ($A=0.48$) から計算した S の値は図に示す前述の操作で導かれたものとほぼ一致する。今本の実験式 $S \approx 0.36$ ($t \approx 1$) は過小な値を示している。図-3は Taylor

の micro scale $\sqrt{\frac{u^2}{h}}$ の分布であって壁面における値 ≈ 0.1 から単調に増し、その傾向は混合距離 h の分布とほぼ一致する。

・平均渦の大きさ : 平均渦の実験式としては今本の $\sqrt{h} (\% u)$ ≈ 0.15 Veltikarov の $\sqrt{h} = 1.5$ がある。測定結果は図-5に示すように $\sqrt{h} > 0.3$ では今本の結果と一致しているが壁面附近においては scale は小さくなっている。又一点における \sqrt{h} の測定から算出した \sqrt{h} をほぼ同様である。

以上は平均的な考察であるが砂礫形粗度では波長間の乱れ特性量の分布がかなり異なり谷付近で wake の影響がかなり顕著にでて山へ行く従い影響は小さくなっている。

